

ISSN 1000-0933
CN 11-2031/Q

生态学报

Acta Ecologica Sinica



第 32 卷 第 18 期 Vol.32 No.18 2012

中国生态学学会
中国科学院生态环境研究中心
科学出版社

主办
出版



中国科学院科学出版基金资助出版

生态学报 (SHENTAI XUEBAO)

第32卷 第18期 2012年9月 (半月刊)

目 次

亚热带典型树种对模拟酸雨胁迫的高光谱响应.....	时启龙,江洪,陈健,等 (5621)
珠江三角洲地面风场的特征及其城市群风道的构建.....	孙武,王义明,王越雷,等 (5630)
粤北山地常绿阔叶林自然干扰后冠层结构与林下光照动态.....	区余端,苏志尧 (5637)
四种猎物对南方小花蝽生长发育和繁殖的影响	张昌容, 郭军锐, 莫利锋 (5646)
普洱季风常绿阔叶林次生演替中木本植物幼苗更新特征.....	李帅锋, 刘万德, 苏建荣, 等 (5653)
喀斯特常绿落叶阔叶混交林物种多度与丰富度空间分布的尺度效应.....	张忠华,胡刚,祝介东,等 (5663)
格氏栲天然林土壤养分空间异质性.....	苏松锦,刘金福,何中声,等 (5673)
种植香根草对铜尾矿废弃地基质化学和生物学性质的影响.....	徐德聪,詹婧,陈政,等 (5683)
灌溉对三种荒漠植物蒸腾耗水特性的影响.....	单立山,李毅,张希明,等 (5692)
真盐生植物盐角草对不同氮形态的响应.....	聂玲玲,冯娟娟,吕素莲,等 (5703)
庞泉沟自然保护区寒温性针叶林演替优势种格局动态分析.....	张钦弟,毕润成,张金屯,等 (5713)
不同水肥条件下AM真菌对丹参幼苗生长和营养成分的影响.....	贺学礼,马丽,孟静静,等 (5721)
垄沟覆膜栽培冬小麦田的土壤呼吸.....	上官宇先,师日鹏,韩坤,等 (5729)
不同方式处理牛粪对大豆生长和品质的影响	郭立月,刘雪梅,��丽杰,等 (5738)
基于大气沉降与径流的乌鲁木齐河源区氮素收支模拟	王圣杰,张明军,王飞腾,等 (5747)
基于能值理论的循环复合农业生态系统发展评价——以福建省福清星源循环农业产业基地为例.....	钟珍梅,翁伯琦,黄勤楼,等 (5755)
低温暴露和恢复对棘胸蛙雌性亚成体生存力及能量物质消耗的影响.....	凌云,邵晨,颉志刚,等 (5763)
暗期干扰对棉铃虫两个不同地理种群滞育抑制作用的比较.....	陈元生,涂小云,陈超,等 (5770)
水土流失治理措施对小流域土壤有机碳和全氮的影响.....	张彦军,郭胜利,南雅芳,等 (5777)
不同管理主体对泸沽湖流域生态系统影响的比较分析.....	董仁才,苟亚青,李思远,等 (5786)
连江鱼类群落多样性及其与环境因子的关系	李捷,李新辉,贾晓平,等 (5795)
溶氧水平对鲫鱼代谢模式的影响	张伟,曹振东,付世建 (5806)
象山港人工鱼礁区的网采浮游植物群落组成及其与环境因子的关系	江志兵,陈全震,寿鹿,等 (5813)
填海造地导致海湾生态系统服务损失的能值评估——以套子湾为例	李睿倩,孟范平 (5825)
城市滨水景观的视觉环境质量评价——以合肥市为例	姚玉敏,朱晓东,徐迎碧,等 (5836)
专论与综述	
生态基因组学研究进展	施永彬,李钧敏,金则新 (5846)
海洋酸化生态学研究进展	汪思茹,殷克东,蔡卫君,等 (5859)
纺锤水蚤摄食生态学研究进展	胡思敏,刘胜,李涛,等 (5870)
河口生态系统氨氧化菌生态学研究进展	张秋芳,徐继荣,苏建强,等 (5878)
嗜中性微好氧铁氧化菌研究进展	林超峰,龚骏 (5889)
典型低纬度海区(南海、孟加拉湾)初级生产力比较	刘华雪,宋星宇,黄洪辉,等 (5900)
植物叶片最大羧化速率及其对环境因子响应的研究进展	张彦敏,周广胜 (5907)
中国大陆鸟类栖息地选择研究十年	蒋爱伍,周放,覃玥,等 (5918)
研究简报	
孵化温度对赤链蛇胚胎代谢和幼体行为的影响	孙文佳,俞霄,曹梦洁,等 (5924)
不同施肥茶园土壤微生物量碳氮及相关参数的变化与敏感性分析	王利民,邱珊莲,林新坚,等 (5930)
施肥对两种苋菜吸收积累镉的影响	李凝玉,李志安,庄萍,等 (5937)

期刊基本参数:CN 11-2031/Q * 1981 * m * 16 * 322 * zh * P * ¥70.00 * 1510 * 36 * 2012-09



封面图说:冬天低空飞翔的丹顶鹤——丹顶鹤是鹤类中的一种,因头顶有“红肉冠”而得名。是东亚地区特有的鸟种,因体态优雅、颜色分明,在这一地区的文化中具有吉祥、忠贞、长寿的象征,是传说中的仙鹤,国家一级保护动物。丹顶鹤具备鹤类的特征,即三长——嘴长、颈长、腿长。成鸟除颈部和飞羽后端为黑色外,全身洁白,头顶皮肤裸露,呈鲜红色。丹顶鹤每年要在繁殖地和越冬地之间进行迁徙,只有在日本北海道等地是留鸟,不进行迁徙,这可能与冬季当地人有组织地投喂食物,食物来源充足有关。

彩图提供:陈建伟教授 北京林业大学 E-mail: cites.chenjw@163.com

DOI: 10.5846/stxb201108121182

张彦军, 郭胜利, 南雅芳, 李俊超. 水土流失治理措施对小流域土壤有机碳和全氮的影响. 生态学报, 2012, 32(18): 5777-5785.

Zhang Y J, Guo S L, Nan Y F, Li J C. Effects of soil erosion control measures on soil organic carbon and total nitrogen in a small watershed. Acta Ecologica Sinica, 2012, 32(18): 5777-5785.

水土流失治理措施对小流域土壤有机碳和全氮的影响

张彦军¹, 郭胜利^{1,2,*}, 南雅芳¹, 李俊超¹

(1. 西北农林科技大学资源环境学院, 杨凌 712100;

2. 黄土高原土壤侵蚀与旱地农业国家重点实验室, 中国科学院水利部水土保持研究所, 杨凌 712100)

摘要:明确综合治理条件下小流域土壤有机碳(Soil organic carbon, SOC)和全氮(Total nitrogen, TN)的空间分布特征及其影响因素, 对科学评价水土流失区土壤固碳潜力具有重要意义。以黄土高原丘陵沟壑区典型小流域(砖窑沟流域)为对象, 基于流域内3种典型地貌类型(梁峁坡、沟坡、沟谷)和3种典型水土流失治理措施(水平梯田、林地和草地措施, 坡耕地为对照), 采集土壤样品737个, 研究地貌类型和水土流失治理措施对小流域SOC和TN变化的影响。结果表明, 同一地貌类型上, 水平梯田、林地和草地措施的SOC和TN(0—10 cm土层)含量均显著高于坡耕地($P<0.1$)。梁峁坡上, 水平梯田、林地和草地措施条件下的SOC和TN含量较坡耕地依次提高了18%和24%、70%和59%、25%和21%; 沟坡上, 林地和草地措施的SOC和TN较坡耕地依次提高了76%和54%、25%和27%。同一治理措施在不同地貌类型间对0—10 cm土层SOC和TN的影响存在显著差异($P<0.1$)。水平梯田条件下, 沟谷的SOC和TN含量比峁坡提高了46%和43%; 林地措施条件下, 沟坡的SOC和TN含量比峁坡提高了18%和6%; 草地措施条件下, 沟坡的SOC和TN含量比峁坡提高了14%和18%。0—100 cm土层的SOC或TN在不同地貌类型或不同治理措施间的差异与土壤水分含量(Soil moisture, SM)的变化趋势基本一致, 并且SOC或TN与SM呈指数关系 $y = ae^{bx}$ (y 为SOC或TN, x 为SM)。

关键词:地貌类型; 治理措施; 土壤有机碳; 全氮; 土壤水分

Effects of soil erosion control measures on soil organic carbon and total nitrogen in a small watershed

ZHANG Yanjun¹, GUO Shengli^{1,2,*}, NAN Yafang¹, LI Junchao¹

1 College of Resource and Environment, Northwest Agriculture and Forestry University, Yangling, Shaanxi 712100, China

2 State Key Laboratory of Soil Erosion and Dry land Farming on Loess Plateau, Institute of Soil and Water Conservation, Chinese Academy of Sciences and Ministry of Water Resource, Yangling, Shaanxi 712100, China

Abstract: It is significance of assessing soil organic carbon (SOC) and total nitrogen (TN) sequestration potential to understand dynamics of soil organic carbon (SOC) and total nitrogen (TN) at a small watershed with comprehensive measures in the loess region of China. Based on three topographic positions (Ridge slope, Gully slope, Valley bottom) and three control measures for soil erosion (Level terrace, Woodland measures, Grassland measures), 737 soil samples were collected to investigate effects of topographic positions and soil erosion control measures on soil organic carbon and total nitrogen at Zhuan Yaogou watershed in the hilly region of Loess Plateau. Under the similar topographic positions, SOC and TN (0—10 cm soil layer) in level terrace, woodland and grassland were significantly higher than those in cropland on sloping land ($P<0.1$). For the ridge slope, SOC and TN in level terrace, woodland and grassland were 18% and 24%, 70% and 59%, and 25% and 21% higher than that in cropland on sloping land, respectively; For the gully slope, SOC

基金项目:国家自然科学基金资助(40771125)

收稿日期:2011-08-12; 修订日期:2012-05-22

* 通讯作者 Corresponding author. E-mail: slguo@ms. iswc. ac. cn

and TN in woodland and grassland were 76% and 54%, and 25% and 27% higher than that in cropland on sloping land, respectively. The similar control measures for soil erosion produced significant differences among topographic positions ($P<0.1$). In the 0—10 cm soil layer, For the level terrace measure, SOC and TN in valley bottom were 46% and 43% higher than those in the ridge slope; For the woodland measures, SOC and TN in the gully slope were 18% and 6% higher than those in the ridge slope; For the grassland measures, SOC and TN in the gully slope were 14% and 18% higher than those in the ridge slope. In the 0—100 cm soil depth, SOC or TN had the similar change characteristics with soil moisture among the topographic positions and the soil erosion control measures. An exponential relationships of $y=ae^{bx}$ (y is SOC or TN and x is soil moisture) were developed between SOC (TN) and soil moisture at the small watershed.

Key Words: topographic positions; soil erosion control measures; soil organic carbon; total nitrogen; soil moisture

水土流失是导致土壤有机碳库流失和土壤退化的重要因素^[1]。水土流失治理可显著改善土壤质量,提高陆地生态系统碳积累。据 Lal^[2-4]估计,全球水土流失治理的固碳潜力为 1.47—3.04 Pg C/a。土壤有机碳库的恢复不仅有助于改善土壤持水性能、提高土壤质量而且有助于维护生态系统的结构与功能。因此,了解水土流失治理条件下土壤有机碳(SOC)和总氮(TN)的变化及其影响因素,对科学评价水土流失区土壤固碳潜力和碳循环具有重要意义。

黄土高原地区沟壑纵横、地形破碎,水土流失严重^[5]。小流域既是黄土区产流产沙的基本单元,也是该区治理水土流失的基本单元。在水土流失严重的丘陵沟壑区,梁峁坡、沟坡及各类沟谷中,地形严重影响着小流域内水土流失状况^[6-7],支配着水、热资源的空间分布^[8-9],决定着植被群落的空间配置,从而影响水土流失治理措施的空间配置^[10-11]。例如,在丘陵沟壑区的燕沟流域,依据立地条件进行综合治理,梁峁坡上建立了乔—灌—草混交植被措施,沟坡则配置了乔—灌混交以及经济林果措施,而沟谷则建造速生用材林,水土流失治理措施的合理配置,显著降低了流域的产沙量,提高了流域土壤生产力和土壤质量^[12]。除地形因素外,植被措施的差异也会显著影响 SOC 和 TN 的积累。此外,即使同一植被措施条件下,也会因地形差异影响 SOC 和 TN 的积累^[13-14]。

目前,大量的研究集中于土地利用方式的变化或单一水土流失治理措施对 SOC 和 TN 的影响^[15-20]。但从小流域角度,研究同一治理措施在不同地形部位或同一地形部位上不同治理措施间 SOC 和 TN 积累的差异的报道不多。因此,从地形和治理措施角度研究流域内 SOC 和 TN 的变化有助于深入理解黄土区水土流失治理对陆地生态系统碳循环的影响。

1 材料与方法

1.1 研究区概况

砖窑沟流域($39^{\circ}11'06''$ — $39^{\circ}13'47''$ N, $111^{\circ}12'03''$ — $111^{\circ}19'28''$ E)位于晋西北河曲县沙坪乡,地势东高西低,海拔 845—1244 m,主沟方向为东西向,长约 14.2 km,支沟从南北两面汇入,南北剖面呈凹形,分水岭与沟底高差达 150—200 m,起伏剧烈。流域沟壑密度为 6.24 km/km^2 ,沟谷切割深度一般在 50—100 m 之间,有的高达 200 m 左右。流域(黄土丘陵沟壑区)地貌类型由梁峁坡、沟坡和沟谷组成,三者在流域内所占的比例分别为 47.7%、47.3%、5.0%。流域内坡度在 0° — 15° 范围之间的土地面积占整个流域面积的 40.40%; 15° — 25° 之间占 29.81%; 25° — 35° 之间占 12.44%; $>35^{\circ}$ 的占 17.35%。

流域属大陆性季风气候,年平均降水量 447.5 mm,蒸发量 1913.7 mm,年内降雨主要集中在 6—9 月份,其中 7、8 两月份占全年降水量的 52.3%,并多为大雨和暴雨。 $\geq 10^{\circ}\text{C}$ 的积温天数为 140 d,无霜期为 156 d,全年日照达 2856 h。多年平均大风日数 87.2 d。以春季最多,占 41.64%。流域土壤侵蚀以水蚀为主,“七五”初年平均水蚀模数为 $12000 \text{ t}\cdot\text{km}^{-2}\cdot\text{a}^{-1}$ 。地面割裂度为 55.1%,年土壤侵蚀模数 $>20000 \text{ t}/\text{km}^2$,属于剧烈侵蚀。流域的土壤以栗褐土为主,土壤层次发育不明显,多表现出母质性状,质地偏轻,有机质含量一般在 0.50% 左右,全 N、全 P 仅 0.04% 和 0.05%,全 K 含量 2.00% 左右。

流域植被类型多样,属温暖带森林草原气候,主要农作物有糜子(*Panicum miliaceum* L.)、玉米(*Zea mays* L.)、谷子(*Setaria italica*)等;林地包括乔木林和灌木林,乔木林地主要有刺槐(*Robinia pseudoacacia*)林、小杨树(*Populus simonii* Carr.)林、沙枣(*Elaeagnus angustifolia* L.)林等,灌木林有柠条(*Caragana Korshinskii*)、沙棘(*Hippophae rhamnoides*);草地分为人工草地和天然草地两种类型,其中人工草地主要有苜蓿(*Medicago sativa* L.)、香蒲(*Typha orientalis* Presl)、沙打旺(*Astragalus adsurgens* Pall)等,天然草地主要有草木樨(*Melilotus suaveolens* Ledeb)、冰草(*Agropyron cristatum* L. Gaertn)等类型。

1.2 测定项目及方法

1.2.1 土壤采集

基于小流域内的地貌类型和治理措施两大因素,采用“分层次采样的方法”,采集土壤样品。将地貌类型(梁峁坡、沟坡和沟谷)作为一级层次,将同一地貌类型条件下的不同治理措施(坡耕地(对照)、水平梯田、林地措施、草地措施)作为二级层次。在流域内,以横断面思路为依据,采集土壤样品,每个采样点3—5次重复(“S”型路线),并充分考虑空间异质性,在沿途进行补点采样。3种地貌类型在野外的判别依据为:沟缘线以上为梁峁坡(包括峁顶),沟缘线以下到坡脚线以上为沟坡,多个坡脚线之间相对平坦的地区为沟谷(图1)。结合砖窑沟流域的实际情况于2010年9月进行为期4 d的采样。采样时利用GPS定位,并记录每个采样点的海拔、经纬度、地貌类型、治理措施等信息。在流域尺度上采集不同地貌类型、不同治理措施的土壤样本97个,其中0—20 cm土层采集了60个土壤样本,0—40 cm土层采集了20个土壤样本,0—100 cm土层采集了17个土壤样本。每个样本分别取0—10、10—20、20—40、40—60、60—80、80—100 cm共6个层次,共计737个土壤样品。采样土钻直径为3 cm。

1.2.2 样品分析

新鲜样品混合均匀后,用部分样品测土壤水分(SM)(烘干法),剩余样品在室内进行自然风干,风干样品过0.25 mm筛后,测定SOC($H_2SO_4-K_2Cr_2O_7$ 外加热法)含量(g/kg),TN(凯氏定氮法)含量(g/kg)(自动定氮仪BUCHI322/343)。

1.3 数据处理与统计分析

利用Excel软件进行数据的预处理,用Sigmaplot软件做SOC和TN以及SM相关图,用SAS软件的UNIVARIATE plot normal程序包对数据进行正态分布检验。利用SAS软件PROC reg程序包对分析获得的SOC(因变量)和TN(自变量)进行回归分析,所获回归方程的斜率反映了土壤C:N的平均值^[19]。并用SAS软件对不同地貌类型和不同治理措施条件下的SOC、TN和SM进行了方差分析(GLM),当F检验显著时在进行3种地貌类型(梁峁坡、沟坡、沟谷)和3种治理措施(坡耕地(对照)、水平梯田、林地措施、草地措施)均值间的Duncan检验,对同一地貌类型条件下不同治理措施以及同一治理措施条件下不同地貌类型进行方差分析(GLM),当F检验显著时,进行均值间的Duncan检验。所有方差分析 $\alpha=0.1$ 。

2 结果与分析

2.1 土壤有机碳、全氮、以及土壤水分变异的影响因子

流域表层SOC含量的变化范围为1.05—17.60 g/kg,均值为4.39 g/kg,数据接近正态分布($W=0.8839$);TN含量的变化范围为0.05—1.38 g/kg,均值为0.38 g/kg,近似正态分布($W=0.9150$);SM的变化范围为7.27%—19.35%,均值为12.46%,近似正态分布($W=0.9759$)。治理措施、土层深度、地貌类型及



图1 流域典型地貌类型图

Fig. 1 Typically landforms maps at the small watershed

其交互作用对流域土壤 SOC、TN 以及 SM 的空间分布有显著影响 ($P<0.1$) (表 1)。

表 1 小流域内的土壤有机碳、全氮以及土壤水分的空间分布影响因子方差分析

Table 1 Variance analysis of spatial distribution of soil organic carbon, total nitrogen and soil moisture in watershed

项目 Item	df	土壤有机碳 SOC				全氮 TN				土壤水分 SM			
		SS	MS	F	$P_r>F$	SS	MS	F	$P_r>F$	SS	MS	F	$P_r>F$
C	3	18.39	6.13	0.11	0.04	2.85	0.0365	3.49	0.0155	267.91	89.30	35.62	<0.001
D	5	505.85	101.17	3.43	0.69	54.32	<0.0001	57.55	<0.0001	2390.77	478.15	190.72	<0.001
L	2	30.40	15.20	0.23	0.11	8.95	0.0001	8.65	0.0002	550.63	275.32	42.10	<0.0001
C×L	3	14.26	4.75	0.12	0.04	3.26	0.0210	2.70	0.0445	71.10	23.70	3.62	0.0129
C×D	15	161.25	10.75	0.99	0.07	5.21	<0.0001	6.11	<0.0001	93.86	6.26	0.96	0.4999
D×L	10	13.49	1.35	0.15	0.02	1.21	0.2834	0.77	0.6603	615.25	61.53	9.41	<0.0001
C×D×L	9	5.47	0.61	0.12	0.01	1.05	0.3970	0.35	0.9593	98.37	10.93	1.67	0.0920

C: 治理措施 Soil erosion control measures; D: 土层深度 Soil depth; L: 地貌类型 topographic positions; SOC: Soil organic carbon; TN: Total nitrogen; SM: Soil moisture; df: 自由度 Degree of freedom; SS: 平方和 Sum of squares; MS: 均方 Mean square

2.2 治理措施对土壤有机碳、全氮以及土壤水分的影响

同一地貌类型条件下,治理措施对 SOC、TN 以及 SM 都有显著影响 ($P<0.1$) (图 2)。

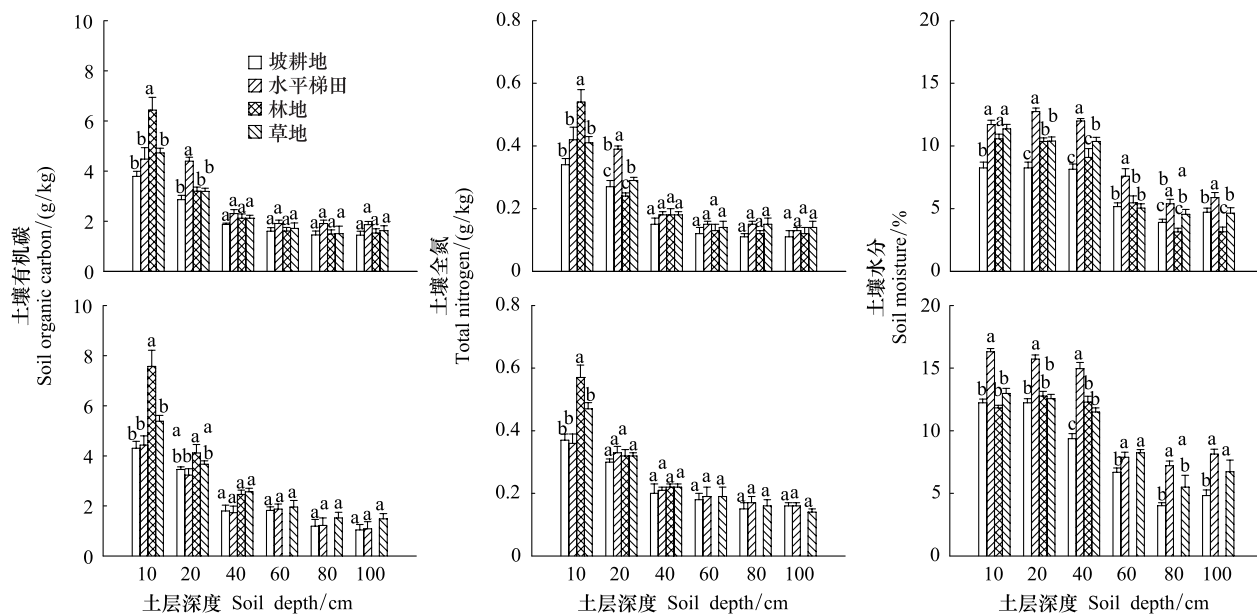


图 2 治理措施对土壤有碳、全氮以及土壤水分的影响

Fig. 2 Effect of control measures on soil organic carbon, total nitrogen and soil moisture

第一行为峁坡;第二行为沟坡;不同小写字母表示差异显著

梁峁坡上,与坡耕地相比,在 0—10 cm 土层,林地的 SOC (6.43 g/kg) 含量提高了 70%,但水平梯田、草地措施在 0—10 cm 土层的 SOC 含量与其差异不显著 ($P>0.1$);在 10—20 cm 土层,水平梯田的 SOC (4.4 g/kg) 含量较坡耕地的 SOC 含量提高了 54%,而林地措施和草地措施的 SOC 含量与坡耕地的 SOC 含量差异不显著 ($P>0.1$);在 20—100 cm 土层,水平梯田、林地措施和草地措施的 SOC 含量均与坡耕地的 SOC 含量差异不显著 ($P>0.1$)。在 0—100 cm 土层,TN 含量与 SOC 含量的变化规律相似。

沟坡条件下,在 0—10 cm 土层,林地的 SOC (7.57 g/kg) 含量较坡耕地的 SOC 含量提高了 76%,而水平梯田、草地措施的 SOC 含量与坡耕地的 SOC 含量差异不显著 ($P>0.1$);在 10—20 cm 土层,林地措施的 SOC (4.11 g/kg) 含量较坡耕地的 SOC (3.45 g/kg) 含量提高了 19%,而水平梯田、草地措施的 SOC 含量与坡耕地的 SOC (3.45 g/kg) 含量差异不显著 ($P>0.1$);在 20—100 cm 土层,水平梯田、林地措施和草地措施的 SOC

含量与坡耕地的 SOC 含量差异不显著 ($P>0.1$)。不同措施间的 TN 含量在 0—100 cm 土层与 SOC 含量有着近似的规律。

梁峁坡上或沟坡上生物治理措施均显著影响 SM 的空间分布 ($P<0.1$)。0—100 cm 土层, SM 呈现出水平梯田>林地或草地措施>坡耕地的趋势(图 2)。

2.3 地貌类型对土壤有机碳、全氮以及土壤水分的影响

同一治理措施条件下,SOC、TN 以及 SM 因地貌类型存在显著差异 ($P<0.1$) (图 3)。

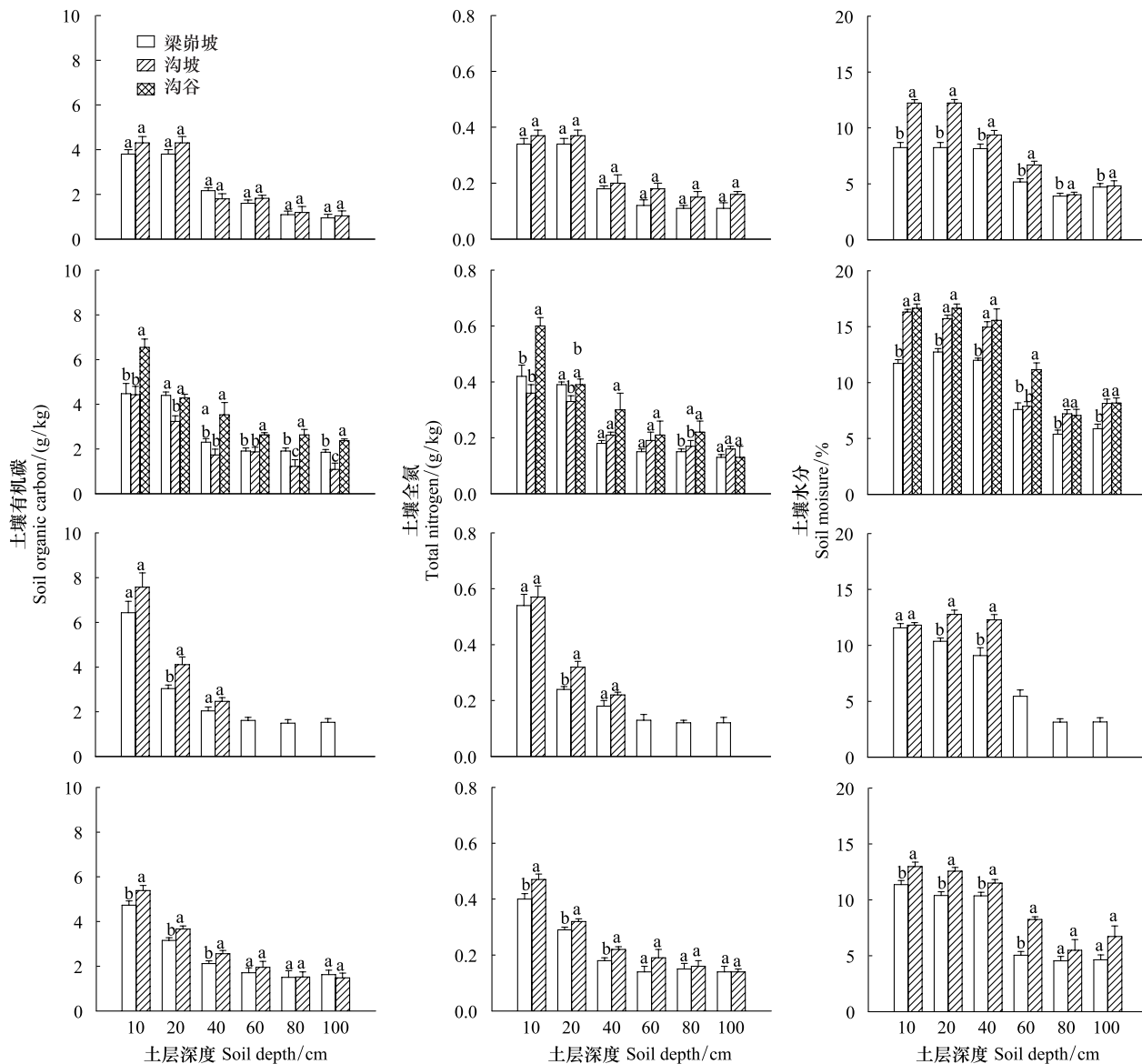


图 3 地貌类型对土壤有机碳、全氮以及土壤水分的影响

Fig. 3 Effect of topographic positions on soil organic carbon, total nitrogen and soil moisture

第一行为坡耕地;第二行为水平梯田措施;第三行为林地措施;第四行为草地措施

坡耕地条件下,与梁峁坡相比,在 0—100 cm 土层,沟坡的 SOC 和 TN 的含量与其差异不显著 ($P>0.1$)。水平梯田措施条件下,与梁峁坡相比,在 0—10 cm 土层, 沟谷的 SOC (6.54 g/kg) 含量提高了 46%,而沟坡的 SOC (4.43 g/kg) 含量与梁峁坡的 SOC (4.47 g/kg) 含量差异不显著 ($P>0.1$);在 10—20 cm 土层,沟坡的 SOC (3.23 g/kg) 含量较梁峁坡的 SOC (4.4 g/kg) 含量减少了 27%,而沟谷的 SOC (4.28 g/kg) 含量与梁峁坡的 SOC (4.4 g/kg) 含量差异不显著 ($P>0.1$);在 20—40 cm 土层,沟谷和沟坡的 SOC 含量都均与梁峁坡的

SOC 含量差异不显著 ($P>0.1$) ; 在 40—60 cm 土层, 沟谷的 SOC (2.63 g/kg) 含量较梁峁坡的 SOC (1.91 g/kg) 含量提高了 38% , 而沟坡的 SOC (1.87 g/kg) 含量与梁峁坡的 SOC (1.91 g/kg) 含量差异不显著 ($P>0.1$) ; 在 60—80 cm 土层, 沟谷的 SOC (2.63 g/kg) 较梁峁坡的 SOC (1.91 g/kg) 含量提高了 38% , 而沟坡的 SOC (1.22 g/kg) 的含量较梁峁坡的 SOC (1.91 g/kg) 含量减少了 36% ; 在 80—100 cm 土层, 沟谷的 SOC (2.37 g/kg) 较梁峁坡的 SOC (1.86 g/kg) 提高了 27% , 而沟坡的 SOC (1.09 g/kg) 的含量较梁峁坡的 SOC (1.86 g/kg) 含量减少了 41% 。在 0—40 cm 土层, 地貌类型间的 TN 含量与 SOC 含量的变化规律类似, 但地貌类型间的 TN 含量的变化规律在 40—100 cm 土层与 SOC 变化不一致。

林地措施条件下, 与梁峁坡相比, 在 0—10 cm 和 20—40 cm 土层, 沟坡的 SOC 含量与其差异不显著 ($P>0.1$) ; 但在 10—20 cm 土层, 沟坡的 SOC (4.11 g/kg) 含量较梁峁坡的 SOC (3.04 g/kg) 含量提高了 35% 。在 0—40 cm 土层, TN 含量与 SOC 的变化规律一致。草地措施条件下, 与梁峁坡相比, 在 0—10 cm 土层, 沟坡的 SOC (5.38 g/kg) 含量较梁峁坡的 SOC (4.73 g/kg) 含量提高了 14% ; 在 10—20 cm 土层, 沟坡的 SOC (3.66 g/kg) 含量较梁峁坡的 SOC (3.15 g/kg) 含量提高了 16% ; 在 20—40 cm 土层, 沟坡的 SOC (2.56 g/kg) 含量较梁峁坡的 SOC (2.12 g/kg) 含量提高了 21% ; 在 40—100 cm 土层, 沟坡的 SOC 含量与梁峁坡的 SOC 含量差异不显著 ($P>0.1$) 。TN 在 0—100 cm 土层与 SOC 的变化规律一致。

地貌类型也显著影响流域 SM 的空间分布 ($P<0.1$) (图 3)。0—100 cm 土层, 坡耕地、林地以及草地治理措施条件下, SM 均呈现出沟坡>峁坡的趋势; 在水平梯田条件下, SM 则呈现出沟谷>沟坡>峁坡的趋势。

3 讨论

流域的 SOC 和 TN 含量因治理措施而不同(图 2)。无论梁峁坡还是沟坡, 与坡耕地相比较而言, 水平梯田、林地措施和草地措施均提高了 SOC 和 TN 的含量。这一结果与已有报道基本一致^[15-17,19-20]。在水土流失区, 治理措施的减沙、减流可能是导致 SOC 和 TN 改善的重要原因^[21-22], 同时植被的性状对 SOC 和 TN 影响也不容忽视^[23-26]。据本流域野外观测资料显示(1988—1989 年), 3 次特大暴雨的裸露沟坡和治理沟坡平均产沙量分别为 1252 t/km² 和 1.8 t/km², 产流量分别为 10910 m³/km² 和 109 m³/km²; 在坡度、坡长、小区面积近似的条件下, 水平梯田和林地措施以及坡耕地的土壤侵蚀模数分别为 0.21、1147 t/km²^[22]。林地措施或草地措施的 SOC 和 TN 含量高于坡耕地的 SOC 和 TN 含量, 可能与不同措施间归还到土壤中的有机物的输入量、性质的差异有关:(1)林地和草地的有机物输入量高于农田, 例如, 林地总输入量为 242.5 t/hm²; 草地总输入量为 28.0 t/hm²; 农田总输入量为 20.1 t/hm²^[23-24]。(2)林地、草地条件下输入土壤的有机物降解性要难于坡耕地, 例如黄土高原丘陵沟壑区, 林地、草地、农田的 C:N 分别为 11.46、10.26 和 9.78^[25]。(3)不同种类有机物质的生化特征不同^[26]。

同一治理措施在不同地貌类型间的作用存在着差异(图 3)。流域尺度上, 由于峁坡、沟坡以及沟谷的不同坡度导致了水分及其水土流失的分异。例如, 同一林草措施条件下, 在 0—40cm 土层, 沟坡的 SM 为 12.4% 而峁坡的 SM 为 10.6% (图 3); 在干旱半干旱的黄土高原地区, 水分的差异通过影响植物的生长状况^[27-28], 从而进一步影响有机物向土壤中的归还量^[29]和 SOC(TN) 的积累^[26,30]。研究认为 25° 是黄土高原地区梁峁坡和沟坡的分界线^[31], 也是该地区发生土壤侵蚀的临界坡度^[32], 因此, 沟坡承接了来自梁峁坡上流失的水、土, 从而使沟坡的水土流失量却低于梁峁坡, 继而造成梁峁坡和沟坡上 SOC 和 TN 的积累不同, 呈现出梁峁坡低于沟坡的趋势(图 3)。

在黄土高原地区, 水分因地形或治理措施在流域空间分布上发生显著变化(图 2、图 3), 不同地形部位间或不同治理措施条件下的 SOC(TN) 含量均与 SM 具有显著的指数关系(表 2)。在半干旱地区, 水分是植被生长的主要限制性因素, 低洼地形部位相对适宜的水分条件促进了植被的生长和有机物向土壤的归还量, 进而提高了 SOC 和 TN 的含量。但流域内土壤水碳、氮成指数增加关系的具体机理有待进一步研究。

地貌类型或治理措施对流域土壤 C:N 影响显著 ($P<0.1$) (表 3), 同一地貌类型条件下, 均呈现出林地措施>草地措施>坡耕地>水平梯田的趋势, 究其原因可能与碳氮的积累速度以及有机物本身的化学性质的差异

有关^[19,33];在同一治理措施条件下,水平梯田条件下土壤C:N呈现出沟坡>梁峁坡>沟谷的趋势,在坡耕地、林地措施、草地措施条件下则呈现出沟坡>梁峁坡的趋势,可能与流域土层内土壤微生物的群落结构、数量以及活性的差异有关^[34-35]。

表2 流域内土壤水分与土壤有机碳、全氮的关系

Table 2 Relationships between soil moisture and soil organic carbon or total nitrogen in small watershed of Loess Plateau

治理措施 Soil erosion control measures	地貌类型 Topographic positions	土壤水分和土壤有机碳的关系 Relationships between soil moisture and soil organic carbon					土壤水分和土壤全氮的关系 Relationships between soil moisture and total nitrogen				
		回归方程 Regression equations	样本数 Numbers of samples	R^2	$P_r > F$	回归方程 Regression equations	样本数 Numbers of samples	R^2	$P_r > F$		
									坡耕地 Cropland on cultivated slope-land	梁峁坡 Gully slope	
坡耕地 Cropland on cultivated slope-land	梁峁坡	$y = 0.6765e^{0.1729x}$	15	0.53	0.0022	$y = 0.0548e^{0.1754x}$	15	0.55	0.0015	0.55	0.0015
水平梯田	沟坡	$y = 2.2765e^{0.0501x}$	19	0.42	0.0028	$y = 0.2038e^{0.0459x}$	19	0.34	0.0085	0.34	0.0085
Level terrace	梁峁坡	$y = 1.1252e^{0.0854x}$	47	0.40	<0.0001	$y = 0.0769e^{0.1024x}$	47	0.44	<0.0001	0.44	<0.0001
林地措施	沟坡	$y = 0.4596e^{0.1281x}$	15	0.61	0.0006	$y = 0.0889e^{0.0825x}$	15	0.71	<0.0001	0.71	<0.0001
Woodland measures	沟谷	$y = 1.6254e^{0.0496x}$	34	0.27	0.0016	$y = 0.0859e^{0.0805x}$	36	0.27	0.0013	0.27	0.0013
草地措施	梁峁坡	$y = 0.8286e^{0.1443x}$	65	0.55	<0.0001	$y = 0.0778e^{0.1270x}$	66	0.46	<0.0001	0.46	<0.0001
Grassland measures	沟坡	$y = 0.8929e^{0.1027x}$	11	0.12	0.3014	$y = 0.0387e^{0.1628x}$	11	0.41	0.0351	0.41	0.0351
草地措施	梁峁坡	$y = 0.9990e^{0.0995x}$	57	0.46	<0.0001	$y = 0.0751e^{0.1193x}$	61	0.48	<0.0001	0.48	<0.0001
Grassland measures	沟坡	$y = 1.5995e^{0.0615x}$	103	0.18	<0.0001	$y = 0.1276e^{0.0691x}$	101	0.27	<0.0001	0.27	<0.0001

表3 地貌类型和治理措施对土壤碳氮比的影响

Table 3 Effects of topographic positions and control measurements on soil carbon to nitrogen ratio

治理措施 Soil erosion control measures	地貌类型 Topographic positions	回归方程 Regression equations	样本数 Numbers of samples	相关系数 R^2		$P_r > F$
				Correlation coefficients	$P_r > F$	
坡耕地 Cropland on cultivated slope-land	梁峁坡	$y = 10.74x + 0.28$	66	0.92	<0.0001	<0.0001
水平梯田	沟坡	$y = 12.37x - 0.40$	44	0.90	<0.0001	<0.0001
Level terrace	梁峁坡	$y = 10.00x + 0.40$	113	0.90	<0.0001	<0.0001
林地措施	沟坡	$y = 12.27x - 0.67$	24	0.86	<0.0001	<0.0001
Woodland measures	沟谷	$y = 8.54x + 0.90$	56	0.86	<0.0001	<0.0001
草地措施	梁峁坡	$y = 11.96x + 0.11$	109	0.97	<0.0001	<0.0001
Grassland measures	沟坡	$y = 13.24x - 0.33$	34	0.94	<0.0001	<0.0001
草地措施	梁峁坡	$y = 11.00x + 0.13$	131	0.89	<0.0001	<0.0001
Grassland measures	沟坡	$y = 12.44x - 0.26$	180	0.92	<0.0001	<0.0001

4 结论

治理措施、土层深度、地貌类型及其交互作用对流域SOC、TN、SM的空间分布有显著影响($P<0.1$)。同一地貌类型条件下,与坡耕地相比,水平梯田、林地措施、草地措施对SOC和TN影响显著($P<0.1$)。与坡耕地相比较而言,同一治理措施不仅提高了SOC和TN含量而且其含量在不同地貌类型间存在显著差异($P<0.1$)。流域内水碳、水氮呈指数增加趋势。在地形复杂的黄土高原地区,充分考虑地形与治理措施及其相互作用对SOC和TN的影响对准确预测或估算区域尺度SOC和TN变化具有重要意义。

References:

- [1] Lal R. Soil erosion and the global carbon budget. Environment International, 2003, 29(4): 437-450.
- [2] Lal R. Global soil erosion by water and carbon dynamic// Lal R, Klumbk J, Levine E, eds. Soil and Global Change. Boca Raton FL: Lewis Publishers, 1995: 131-134.
- [3] Lal R. Potential of desertification control to sequester carbon and mitigate the greenhouse effect. Climatic Change, 2001, 51(1): 35-72.

- [4] Lal R. World cropland soils as a source or sink for atmospheric carbon. *Advances in Agronomy*, 2001, 71: 145-191.
- [5] Zhu X M, Ren M E. Formation process of the Loess Plateau and a strategy of its management. *Journal of Chinese Historical Geography*, 1991, (4) : 1-14.
- [6] Liu Q Q, Singh V P. Effect of microtopography, slope length and gradient, and vegetative cover on overland flow through simulation. *Journal of Hydrologic Engineering*, 2004, 9(5) : 375-382.
- [7] Rieke-Zapp D H, Nearing M A. Slope shape effects on erosion: a laboratory study. *Soil Science Society of America Journal*, 2005, 69(5) : 1463-1471.
- [8] McNab W H. A topographic index to quantify the effect of mesoscale landform on site productivity. *Canadian Journal of Forest Research-Revue Canadienne De Recherche Forestiere*, 1993, 23(6) : 1100-1107.
- [9] Western A W, Zhou S L, Grayson R B, McMahon T A, Blöschl G, Wilson D J. Spatial correlation of soil moisture in small catchments and its relationship to dominant spatial hydrological processes. *Journal of Hydrology*, 2004, 286(1/4) : 113-134.
- [10] Sebastià M T. Role of topography and soils in grassland structuring at the landscape and community scales. *Basic and Applied Ecology*, 2004, 5 (4) : 331-346.
- [11] Kobayashi Y, Koike F. Separating the effects of land-use history and topography on the distribution of woody plant populations in a traditional rural landscape in Japan. *Landscape and Urban Planning*, 2010, 95 (1/2) : 34-45.
- [12] Yang G, Xue Z D, Lang Y M. A discussion on spatial arrangement of vegetation of artificial construction and the main construction techniques. *Research of Soil and Water Conservation*, 2000, 7(02) : 136-139.
- [13] Basnet K. Controls of environmental factors on pattern of Montane rain forest in Puerto Rico. *Tropical Ecology*, 1993, 34(1) : 51-65.
- [14] Wang H Q, Hall C A S, Cornell J D, Hall M H P. Spatial dependence and the relationship of soil organic carbon and soil moisture in the Luquillo Experimental Forest, Puerto Rico. *Landscape Ecology*, 2002, 17(8) : 671-684.
- [15] Powers J S. Changes in soil carbon and nitrogen after contrasting land-use transitions in northeastern Costa Rica. *Ecosystems*, 2004, 7(2) : 134-146.
- [16] Chen H Q, Marhan S, Billen N, Stahr K. Soil organic-carbon and total nitrogen stocks as affected by different land uses in Baden-Württemberg (southwest Germany). *Journal of Plant Nutrition and Soil Science*, 2009, 172(1) : 32-42.
- [17] Puget P, Lal R. Soil organic carbon and nitrogen in a Mollisol in central Ohio as affected by tillage and land use. *Soil and Tillage Research*, 2005, 80(1/2) : 201-213.
- [18] Chen L D, Gong J, Fu B J, Huang Z L, Huang Y L, Gui L D. Effect of land use conversion on soil organic carbon sequestration in the loess hilly area, Loess Plateau of China. *Ecological Research*, 2007, 22(4) : 641-648.
- [19] Ma Y H, Guo S L, Yang Y L, Wang X L, Yang G. Influence of vegetation types on soil organic C at Yangou catchment in the Loess hilly-gully region. *Journal of Natural Resources*, 2007, 22(1) : 97-105.
- [20] Solomon D, Lehmann J, Zech W. Land use effects on soil organic matter properties of chromic luvisols in semi-arid northern Tanzania: carbon, nitrogen, lignin and carbohydrates. *Agriculture Ecosystems and Environment*, 2000, 78(3) : 203-213.
- [21] Bi Y L, Wang B Q, Guo S L, Yu C Z. Characteristic of soil nutrients in dam system and its relation with erosive environment in the Loess Hilly Region I. The physicochemical properties and numerical analysis of dam system soil. *Journal of Soil Erosion and Soil and Water Conservation*, 1997, 3(3) : 1-9.
- [22] Yu C Z. The Comprehensive Treatment in Loess Plateau-the Investigated Report of Comprehensive Treatment in Zhuan Yao Gou Watershed in He Qu. *Geographical Institute of Loess Plateau*, Shanxi University, 1990.
- [23] French N R, Steinhurst R K, Swift D M. Grassland biomass trophic pyramids//French N R, ed. *Perspectives in Grassland Ecology*. New York, Springer-verlag, 1979 : 59-87.
- [24] Shen S M. The effect of mineral nitrogen on the mineralization and immobilization of soil nitrogen. *Acta Pedologica Sinica*, 1986, 23 (1) : 10-16.
- [25] Wang X L, Guo S L, Ma Y H, Huan D Y, Wu J S. Effects of land use type on soil organic C and total N in a small watershed in Loess Hilly-gully Region. *Chinese Journal of Applied Ecology*, 2007, 18(6) : 1281-1285.
- [26] Rovira P, Vallejo V R. Labile and recalcitrant pools of carbon and nitrogen in organic matter decomposing at different depths in soil: an acid hydrolysis approach. *Geoderma*, 2002, 107(1/2) : 109-141.
- [27] Garcia-Pausas J, Casals P, Camarero L, Huguet C, Sebastià M T, Thompson R, Romanyà J. Soil organic carbon storage in mountain grasslands of the Pyrenees: effects of climate and topography. *Biogeochemistry*, 2007, 82(3) : 279-289.
- [28] Barnes B V, Zak D R, Denton S R, Spurr S H. *Forest Ecology*, 4th ed. New York: Wiley, 1998.
- [29] Fu X L, Shao M A, Wei X R, Horton R. Soil organic carbon and total nitrogen as affected by vegetation types in Northern Loess Plateau of China. *Geoderma*, 2010, 155(1/2) : 31-35.

- [30] Vesterdal L, Ritter E, Gundersen P. Change in soil organic carbon following afforestation of former arable land. *Forest Ecology and Management*, 2002, 169(1/2) : 137-147.
- [31] Yang W Z, Yu C Z. Thematic Maps of Comprehensive Government of Pilot Demonstration Area in Loess Plateau. Beijing: Mapping Press, 1991.
- [32] Wei T X, Zhu J Z. Effects of slope length and grade on soil erosion in the gully regions in Loess Plateau. *Journal of Beijing Forestry University*, 2002, 24(1) : 59-62.
- [33] O'Brien S L, Jastrow J D, Grimley D A, Gonzalez-Meler M A. Moisture and vegetation controls on decadal-scale accrual of soil organic carbon and total nitrogen in restored grasslands. *Global Change Biology*, 2010, 16(9) : 2573-2588.
- [34] Tong C L, Xiao H A, Tang G Y, Wang H Q, Huang T P, Xia H A, Keith S J, Li Y, Liu S L, Wu J S. Long-term fertilizer effects on organic carbon and total nitrogen and coupling relationships of C and N in paddy soils in subtropical China. *Soil and Tillage Research*, 2009, 106(1) : 8-14.
- [35] Truu M, Juhanson J, Truu J. Microbial biomass, activity and community composition in constructed wetlands. *Science of the Total Environment*, 2009, 407(13) : 3958-3971.

参考文献:

- [5] 朱显模,任美锷.中国黄土高原的形成过程与整治对策.中国历史地理论丛,1991,(4):1-14.
- [12] 杨光,薛智德,梁一民.陕北黄土丘陵区植被建设中的空间配置及其主要建造技术.水土保持研究,2000,7(2):136-139.
- [19] 马玉红,郭胜利,杨雨林,王小利,杨光.植被类型对黄土丘陵区流域土壤有机碳氮的影响.自然资源学报,2007,22(1):97-105.
- [21] 毕银丽,王百群,郭胜利,余存祖.黄土丘陵区坝地系统土壤养分特征及其与侵蚀环境的关系I.坝地土壤的理化性状及其数值分析,土壤侵蚀与水土保持学报,1997,3(3):1-9.
- [22] 余存祖.黄土高原综合治理-河曲砖窑沟流域综合治理试验研究报告.山西大学黄土高原地理研究所,1990.
- [24] 沈善敏.无机氮对土壤氮矿化与固定的影响——兼论土壤氮的“激发效应”.土壤学报,1986,23(1):10-16.
- [25] 王小利,郭胜利,马玉红,黄道友,吴金水.黄土丘陵区小流域土地利用对土壤有机碳和全氮的影响.应用生态学报,2007,18(6):1281-1285.
- [31] 杨文治,余存祖.黄土高原综合治理试验示范区——专题地图集.北京:测绘出版社,1991.
- [32] 魏天兴,朱金兆.黄土残塬沟壑区坡度和坡长对土壤侵蚀的影响分析.北京林业大学学报,2002,24(1):59-62.

CONTENTS

Hyperspectral characteristics of typical subtropical trees at different levels of simulated acid rain	SHI Qilong, JIANG Hong, CHEN Jian, et al (5621)
Wind fields and the development of wind corridors in the urban metropolis of the Pearl River Delta	SUN Wu, WANG Yiming, WANG Yuelei, et al (5630)
Dynamics of canopy structure and understory light in montane evergreen broadleaved forest following a natural disturbance in North Guangdong	OU Yuduan, SU Zhiyao (5637)
The influence of 4 species of preys on the development and fecundity of <i>Orius similis</i> Zheng	ZHANG Changrong, ZHI Junrui, MO Lifeng (5646)
Woody seedling regeneration in secondary succession of monsoon broad-leaved evergreen forest in Puer, Yunnan, Southwest China	LI Shuaifeng, LIU Wande, SU Jianrong, et al (5653)
Scale-dependent spatial variation of species abundance and richness in two mixed evergreen-deciduous broad-leaved karst forests, Southwest China	ZHANG Zhonghua, HU Gang, ZHU Jiedong, et al (5663)
The spatial heterogeneity of soil nutrients in a mid-subtropical <i>Castanopsis kawakamii</i> natural forest	SU Songjin, LIU Jinfu, HE Zhongsheng, et al (5673)
Effects of <i>Vetiveria zizanioides</i> L. growth on chemical and biological properties of copper mine tailing wastelands	XU Decong, ZHAN Jing, CHEN Zheng, et al (5683)
Effects of different irrigation regimes on characteristics of transpiring water-consumption of three desert species	SHAN Lishan, LI Yi, ZHANG Ximing, et al (5692)
The response of euhalophyte <i>Salicornia europaea</i> L. to different nitrogen forms	NIE Lingling, FENG Juanjuan, LÜ Sulian, et al (5703)
Dynamic analysis on spatial pattern of dominant tree species of cold-temperate coniferous forest in the succession process in the Pangquangou Nature Reserve	ZHANG Qindi, BI Runcheng, ZHANG Jintun, et al (5713)
Effects of AM fungi on the growth and nutrients of <i>Salvia miltiorrhiza</i> Bge. under different soil water and fertilizer conditions	HE Xueli, MA Li, MENG Jingjing, et al (5721)
The dynamics of soil respiration in a winter wheat field with plastic mulched-ridges and unmulched furrows	SHANGGUAN Yuxian, SHI Ripeng, HAN Kun, et al (5729)
Cattle dung composted by different methods had different effects on the growth and quality of soybean	GUO Liyue, LIU XueMei, ZHAN Lijie, et al (5738)
Nitrogen budget modelling at the headwaters of Urumqi River Based on the atmospheric deposition and runoff	WANG Shengjie, ZHANG Mingjun, WANG Feiteng, et al (5747)
Evaluating the ecosystem sustainability of circular agriculture based on the emergy theory: a case study of the Xingyuan circular agriculture demonstration site in Fuqing City, Fujian	ZHONG Zhenmei, WENG Boqi, HUANG Qinlou, et al (5755)
Effects of cold exposure and recovery on viability and energy consumption in the sub-adult female giant spiny frogs (<i>Paa spinosa</i>)	LING Yun, SHAO Chen, XIE Zhigang, et al (5763)
A comparison of night-interruption on diapause-averting among two populations of the cotton bollworm, <i>Helicoverpa armigera</i>	CHEN Yuansheng, TU Xiaoyun, CHEN Chao, et al (5770)
Effects of soil erosion control measures on soil organic carbon and total nitrogen in a small watershed	ZHANG Yanjun, GUO Shengli, NAN Yafang, et al (5777)
Comparative analysis of Lugu Lake watershed ecosystem function under different management authorities	DONG Rencai, GOU Yaqing, LI Siyuan, et al (5786)
Relationship between fish community diversity and environmental factors in the Lianjiang River, Guangdong, China	LI Jie, LI Xinhui, JIA Xiaoping, et al (5795)
Effect of dissolved oxygen level on metabolic mode in juvenile crucian carp	ZHANG Wei, CAO Zhendong, FU Shijian (5806)
Community composition of net-phytoplankton and its relationship with the environmental factors at artificial reef area in Xiangshan Bay	JIANG Zhibing, CHEN Quanzhen, SHOU Lu, et al (5813)
Emergy appraisal on the loss of ecosystem service caused by marine reclamation: a case study in the Taozi Bay	LI Ruiqian, MENG Fanping (5825)
Assessing the visual quality of urban waterfront landscapes: the case of Hefei, China	YAO Yumin, ZHU Xiaodong, XU Yingbi, et al (5836)
Review and Monograph	
Advances in ecological genomics	SHI Yongbin, LI Junmin, JIN Zexin (5846)
Advances in studies of ecological effects of ocean acidification	WANG Siru, YIN Kedong, CAI Weijun, et al (5859)
Advances in feeding ecology of <i>Acartia</i>	HU Simin, LIU Sheng, LI Tao, et al (5870)
Research progress on ammonia-oxidizing microorganisms in estuarine ecosystem	ZHANG Qiufang, XU Jirong, SU Jianqiang, et al (5878)
Recent progress in research on neutrophilic, microaerophilic iron(II)-oxidizing bacteria	LIN Chaofeng, GONG Jun (5889)
A comparison study on primary production in typical low-latitude seas (South China Sea and Bay of Bengal)	LIU Huaxue, SONG Xingyu, HUANG Honghui, et al (5900)
Advances in leaf maximum carboxylation rate and its response to environmental factors	ZHANG Yanmin, ZHOU Guangsheng (5907)
10-years of bird habitat selection studies in mainland China: a review	JIANG Aiwu, ZHOU Fang, QIN Yue, et al (5918)
Scientific Note	
The effects of incubation temperature on embryonic metabolism and hatching behavior in the Red-banded Snake, <i>Dinodon rufozonatum</i>	SUN Wenjia, YU Xiao, CAO Mengjie, et al (5924)
Sensitivity analysis and dynamics of soil microbial biomass carbon, nitrogen and related parameters in red-yellow soil of tea garden with different fertilization practices	WANG Limin, QIU Shanlian, LIN Xinjian, et al (5930)
Effect of fertilizers on cd uptake of two edible amaranthus herbs	LI Ningyu, LI Zhian, ZHUANG Ping, et al (5937)

《生态学报》2013 年征订启事

《生态学报》是中国生态学学会主办的生态学专业性高级学术期刊,创刊于 1981 年。主要报道生态学研究原始创新性科研成果,特别欢迎能反映现代生态学发展方向的优秀综述性文章;研究简报;生态学新理论、新方法、新技术介绍;新书评介和学术、科研动态及开放实验室介绍等。

《生态学报》为半月刊,大 16 开本,300 页,国内定价 90 元/册,全年定价 2160 元。

国内邮发代号:82-7,国外邮发代号:M670

标准刊号:ISSN 1000-0933 CN 11-2031/Q

全国各地邮局均可订阅,也可直接与编辑部联系购买。欢迎广大科技工作者、科研单位、高等院校、图书馆等订阅。

通讯地址:100085 北京海淀区双清路 18 号 电 话:(010)62941099; 62843362

E-mail: shengtaixuebao@rcees.ac.cn 网 址: www.ecologica.cn

编辑部主任 孔红梅

执行编辑 刘天星 段 靖

生 态 学 报

(SHENTAI XUEBAO)

(半月刊 1981 年 3 月创刊)

第 32 卷 第 18 期 (2012 年 9 月)

ACTA ECOLOGICA SINICA

(Semimonthly, Started in 1981)

Vol. 32 No. 18 (September, 2012)

编 辑 《生态学报》编辑部
地址:北京海淀区双清路 18 号
邮政编码:100085
电话:(010)62941099
www.ecologica.cn
shengtaixuebao@rcees.ac.cn

主 编 冯宗炜
主 管 中国科学技术协会
主 办 中国生态学学会
中国科学院生态环境研究中心
地址:北京海淀区双清路 18 号
邮政编码:100085

出 版 科 学 出 版 社
地址:北京东黄城根北街 16 号
邮政编码:1000717

印 刷 北京北林印刷厂
行 销 科 学 出 版 社
地址:东黄城根北街 16 号
邮政编码:100717
电话:(010)64034563
E-mail:journal@cspg.net

订 购 全国各地邮局
国外发行 中国国际图书贸易总公司
地址:北京 399 信箱
邮政编码:100044

广 告 经 营 京海工商广字第 8013 号
许 可 证

Edited by Editorial board of
ACTA ECOLOGICA SINICA
Add: 18, Shuangqing Street, Haidian, Beijing 100085, China
Tel: (010) 62941099
www.ecologica.cn
Shengtaixuebao@rcees.ac.cn

Editor-in-chief FENG Zong-Wei
Supervised by China Association for Science and Technology
Sponsored by Ecological Society of China
Research Center for Eco-environmental Sciences, CAS
Add: 18, Shuangqing Street, Haidian, Beijing 100085, China

Published by Science Press
Add: 16 Donghuangchenggen North Street,
Beijing 100717, China

Printed by Beijing Bei Lin Printing House,
Beijing 100083, China

Distributed by Science Press
Add: 16 Donghuangchenggen North
Street, Beijing 100717, China
Tel: (010) 64034563
E-mail: journal@cspg.net

Domestic All Local Post Offices in China
Foreign China International Book Trading
Corporation
Add: P. O. Box 399 Beijing 100044, China

ISSN 1000-0933
18 >

9 771000093125